

集水暗渠에 依한 伏流水開發에 關한 研究

—集水管 規格을 中心으로—

A study on the Development of Ground water by the Infiltration Gallery

—on Various Sizes of Catchment Conduits—

韓 旭 東*, 李 根 厚*

Wook Dong Han, Keun Who Lee

Summary

As a link in the chain of antidrought measure, our attempt is made to obtain basic informations on the construction of an infiltration gallery which can be supplied with irrigation water by catching of undergroun*i* water in small river beds, which is economical, permanent and efficient.

The experiment was made, concerning the structure of catchment conduits, by constructing a model sand tank 15m×5m×1.5 m in dimension made of reinforced concrete.

Various kinds of measuring equipment were attached to the model tank which contains a set of catchment conduits. each of them was made 30cm in diameter and 60cm in length with the ratio of sectional area to total area of influx holes 10 : 1, 20 : 1, 30 : 1.

The average size of influx holes was fixed from 0 mm to 10 mm, 20 mm and 30 mm in diameter respectively.

Obtained results are as follow;

(a) In view of the water catchment capacity, manufacturing cost and the antipressure strength of the catchment conduits, it is the best method to decide the total number of influx holes 20 per sq. meter of each tile surface, and the size of influx holes 20mm in diameter, when the conduits have diameter less than 1m.

(b) The greatest factor of safety against external

load is to arrange the influx holes in a zigzag manner on the tile surface. The most effective formula of arrangement is $S \geq \sqrt{2gd}$
where : s : spacing of opening row.
g : spacing of opening line.
d : diameter of influs hole.

I. 序 論

伏流水는 旱魃時 農業用水源으로서 그 効用性이 매우 높다. 이는 우리나라 河川의 河床係數가 커서 大河川을 除外한 大部分의 中小河川은 若干의 旱魃에도 表流水가 거의 潤渴되기 때문에 河川取水施設은 거의다 그 機能을 잃게 되나 河床에는相當量의 伏流水가 潜流하고 있어 이의 利用을 考할 수 있다.

伏流水 開發에 가장 適合한 施設은 集水暗渠이다. 이는 他 水源工에 比해 技術的으로 施工이 比較的 容易하다는 點과 1個所當 灌溉可能面積이 넓으며 經濟性이 좋기 때문이다. 即, 管井의 境遇 1個所當 灌溉面積이 平均 2~5ha에 不過하나 集水暗渠은 거의 50ha에 가깝다는 有利한 面이 있는 것이다. 經濟性에 있어서도 管井의 境遇 B/C Ratio가 1.5정도이나 集水暗渠는 1.9로서 相當히 좋은 實績을 보여 주고 있다. ⁽⁵⁾

1970年 現存 우리나라에는 約 5,619個所의 集水暗渠가 設置되어 있고 이에 따른 蒙利面積도 89,828 ha에 이르고 있다. 即, 우리나라 總水利安全畠의 9%가 集水暗渠에 依해 用水를 供給받고 있으며 앞으로도 伏流水開發을 為한 集水暗渠가 繼續 施工될 展望이 크다. 그러나 이렇게 有利한 伏流水開發에 있어서도 많은 問題點이 있다. 地下水流動理論의 進

展과各種地下水探査用計測装置의開發에 힘입어比較的正確한湧出量判斷, 地下水流向, 透水係數等集水暗渠施工에絕對必要한基礎資料를獲得할수있음에도不拘하고過去의集水暗渠施工例를보면 1~2年使用後에는물이말라버리는事例가적지않았던것이다.⁽²⁵⁾ 이와같은失敗의原因은여러가지가있겠으나根本의인原因中의하나로서不適合한施工材料를들수있다. 即,不合理한集水管規格不良한管材料, 貧弱한자갈被覆等이그것이다.

過去河川伏流水를取水하기爲한集水管의構造로서는매우原始의인形態의것으로河川을파헤친後거기에자갈,나무가지,나무상자,돌暗渠等을埋設하여取水한것을들수있고^(27,8)近年에이르러서는concrete製品의普及과더불어漸次有孔concrete管을使用케되었다.⁽⁸⁾ 여기에서有孔管이라함은普通의管表面에一定한規格의流入孔을뚫어놓은것으로바로問題는이流入孔에있는것이다.流入孔徑流入孔數等은伏流水의集水量에크게關係가되며流入孔의配列狀은集水管의耐壓強度에影響을미치는basic要因이된다. 따라서集水暗渠의能과耐機久性을左右하는 가장重要하고基本이되는것이集水管의流入孔規格과配列形狀이라고볼수있다.

流入孔徑 및流入孔數等은日本에서는管徑1,000mm以下의것은孔徑20mm, 1,000mm以上의것은孔徑30mm로하고孔數는管表面積1m²當20~40個로함을標準으로삼고있다.^(3,4) 한편過去의우리나라土地改良組合聯合會에서는集水管流入孔의設計基準은모래일이移動되는限界流速의concept을導入하여孔數을定하고規定하고있다. 即,流速을0.03m/sec로假定하였을때管徑900mm以上에서는流入孔徑을25mm, 900mm以下에서는19mm로定하고있으며孔數는管表面積1m²當27個이다.⁽²⁹⁾ 以上集水管流入孔基準에對한既存事實들을살펴보았으나日本의境遇전우리나라근간에規格設定의뚜렷한實際的根據가애매하다. 또한上記設計基準에依해製作施工된集水暗渠가失敗한事例가없지않은바流入孔에對한보다徹底하고實際의in再檢討를要한다.

따라서本研究에서는各種流入孔規格에 따른集水能과配列形狀別耐壓強度의材料力學의解析과强度實驗을通해 가장效果의in集水管의流入孔規格과配列形狀을究明하고자 한다.

II. 材料 및 方法

1. 使用材料 및 實驗施設

가. 供試用有孔集水管

本研究에使用한供試用有孔集水管은Φ300×600mm, concrete管으로서 그基本形狀은그림1과같다.

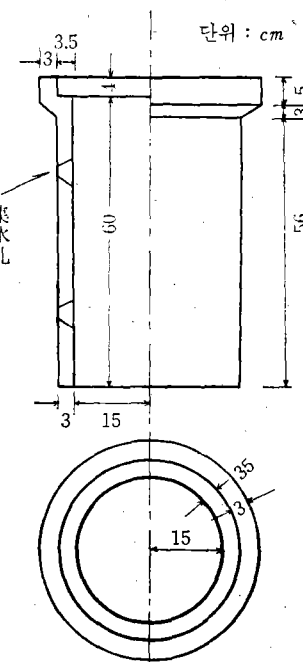


그림1. 供試用 콘크리트管 諸元

流入孔은圓形으로서 그斷面形狀은그림2와같이管外部側의直徑이內部側의直徑보다작게만들었으며本研究에서流入孔이라함은管外部側의流入孔直徑을말한다.

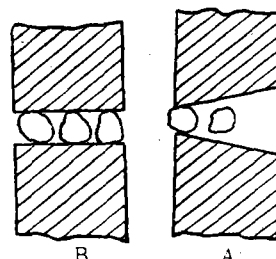


그림2. 流入孔形狀

流入孔規格은管斷面積對流入孔延面積比 및流入孔徑에따라表-1과같이處理하였으며1處理當23개씩總207개를製作하였다.

表一、供試用 集水管 處理一覽表

直徑(mm)	10	20	30
面積比			
10 : 1	60孔	23	10
20 : 1	45	11	5
30 : 1	30	7	3

供試用 集水管의 製作은 市中 cement 製品 製作工場에서 注文 製作한 것으로 配合比 1:7(시멘트: 모래), 16番 鐵線을 插入하였으며 29日間 濕潤養生을 하였다.

나. 實驗用 sand tank

本 裝置는 그림3.과 같은 一종의 模型河川으로서 $15 \times 5 \times 1.5\text{m}$ (112.5m^3)의 鐵筋 concrete tank 製이다. tank 内部는 完全 防水하고 100m^3 의 川砂를 充填하였다. 이 川砂는 京畿道 安城川產으로 細粒이었으며 粒度分析結果는 表-2 및 그림4.와 같다.

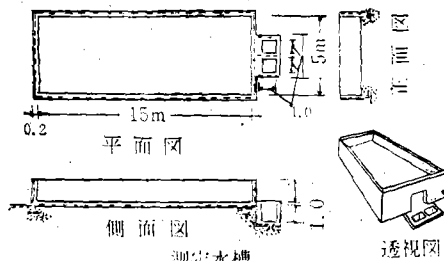


그림3. 模型河川 Sand Tank

表二 粒度分析表

체番號	殘溜量(g)	殘溜量百分率(%)	累加百分率(%)
3/8'' No. 4	4.93	1.0	1.0
No. 8	27.07	5.5	6.5
No. 16	49.22	10.0	16.5
No. 30	140.28	28.5	45.0
No. 50	156.52	31.8	76.8
o. 100	50.20	10.2	87.0
No. 200	27.06	5.5	92.5
計 시	39.92	7.5	100.0
계	492.20	0	

2. 實驗方法

가. 處理別 集水量測定

그림5.와 같이 sand tank에 集水管을 埋設하고 (埋設깊이 1.2m) 集水管의 流入孔은 18 mesh의 銅網주머니에 直徑10~20mm 程度의 자갈을 채운 자갈주머니로 流入孔을 모두 덮었다.

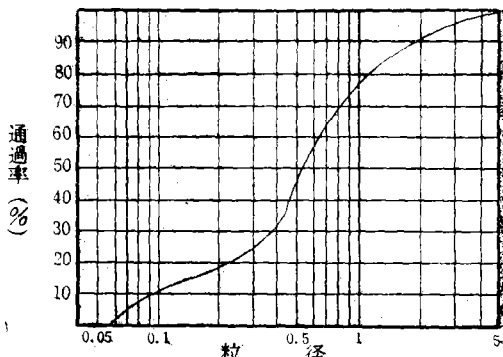
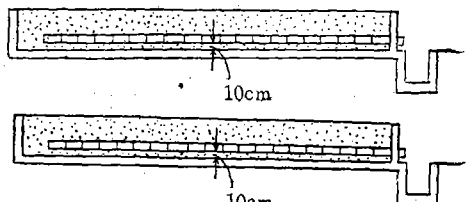
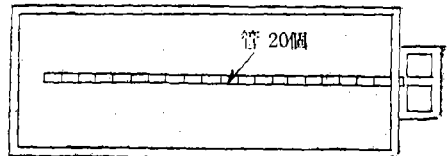
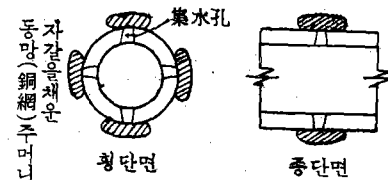


그림4. 粒度加積曲線



集水孔被覆方法



集水管埋設圖

그림5. 集水管 埋設圖

3'' centrifugal pump에 依해 물을 供給하다가 伏流水位 測定管의 水位가 測定管上端으로부터 40cm에 到達하면 물 供給을 中斷하고 則時 水門을 열어 每 10分마다 集水量을 測定하였다. (反復 3回)

나. 集水管 強度試驗

集水管의 強度試驗은 KSF 4401.6項의 規定에 依한 外壓強度試驗方法에 準하여 行하였다. 強度試驗機는 그림6.과 같은 簡易試驗機를 製作 使用하였으며 供試體는 各處理別로 3個씩 標本을 抽出하여 使用하였다.

III. 結果 및 考察

1. 管斷面積 對 流入孔 延面積比와 流入孔徑이 集水

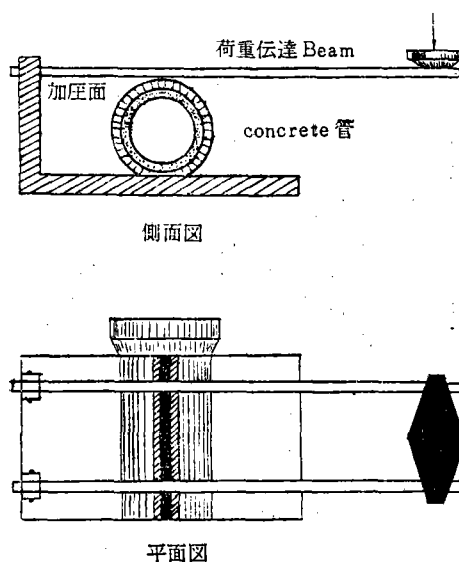


그림 6. Concrete 管 外壓 強度試験機

能에 미치는 影響, 各 處理別 集水管의 集水能은 다음과 같이 求하였다. 即, 各 處理別 集水量 測定值에 對해 時間을 x , 그때의 集水量(流出量)을 y 로 놓고 x 에 對應하는 y 值를 $\log y$ 로 變型하여 graph를 그려본 結果 大略 直線이 됨을 알았다. 即, 半對 數紙上에서 直線이 되는 것이다.

따라서 測定值 x , y 의 關係는

$$y = k a^{mx} \dots \dots \dots (1)$$

임을 알 수 있었다.

이때 兩邊에 對數를 取하면

$$\log y = \log k + (m \cdot \log a) x \dots \dots \dots (2)$$

가 되고 $\log y = Y$, $\log k = B$, $m \cdot \log a = A$ 로 놓으면

$$Y = Ax + B \dots \dots \dots (3)$$

가 된다.

方程式 (3)에서 B 는 半對 數紙上의 垂直軸의 切片이며 A 는 直線의 기울기를 나타낸다. 結局 B 는 供給水量의 相異에 對應하는 數值이며 集水管의 流出特性 다시 말해서 集水能을 나타낸다고 볼 수 있다.

上記 理論에 基礎를 두고 各 處理別로 時間(x) 對 流出量에 對한 對數값과의 回歸係數 (B)를 求한 후 이들 (B)에 對한 分散分析을 實施하여 表-3을 얻었다.

表-3에서 보는 바와 같이 集區間에는 $n_1=2$, $n_2=8$ 일 때 5% 水準에서 F 值은 0.55이나 計算值은 0.527에 不過하므로 本 實驗의 反復間에 有意差가 없음을 알 수 있다. 따라서 本 實驗의 測定結果는 流出水量

自體의 比較없이 回歸係數만을 算出比較하여도 된다.

한편 回歸係數 即, 流出特性值가 計算에 依해 求

表-3 分散分析表

區分	DF	SS	MS	F
全體	29	66.67		
集區	2	0.002	0.001	$0.527 < F_{0.05}(n_1=2, n_2=8) = 3.55$
處理	9	66.36	7.363	$3880 > F_{0.01}(n_1=9, n_2=18) = 3.60$
誤差	18	0.34	0.0019	

해쳤을 境遇 그 解析은 어떻게 할 것인가 하는 問題가 있다. 本 實驗에 있어서 實驗方法에서 論한 바와 같이 一定量의 물을 供給後 集水管을 通하여 排出시켰으므로 單位時間當 排出量이 많은 것은 換言하여 回歸係數의 絶對值가 큰 것은 集水能이 優秀하다고 볼 수 있다.

가. 流入孔徑과 集水能과의 關係

集水管 斷面積 對 流入孔 延面積比를 固定시키고 流入孔徑과 集水量과의 關係를 살펴보면 그림 7, 8, 9와 같다.

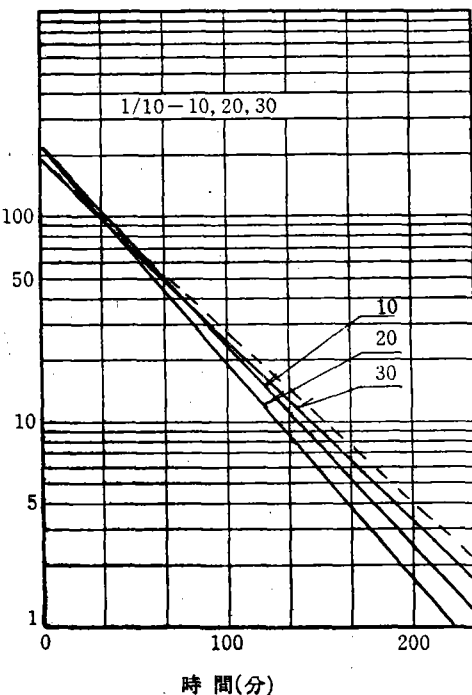


그림 7. 流入孔徑과 集水量과의 關係

延面積比 10 : 1, 20 : 1의 境遇 流入孔徑이 30mm, 20mm, 10mm로 작아 질수록 集水能이 優秀하다. 그러나 孔徑이 20mm 以下로 되면 比例的으로 集水能이 優秀해지지는 않는다.

延面積比가 작은 30 : 1의 境遇도 流入孔徑이 작을 수록 集水能이 優秀하다. 그림 10은 流入孔徑을 固

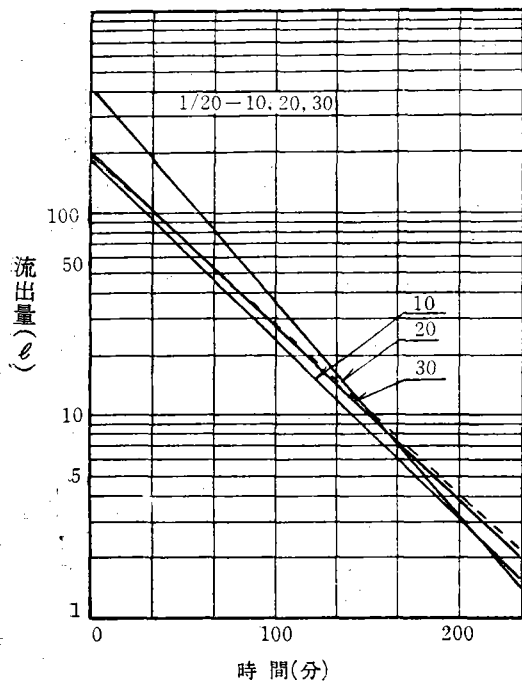


그림 8. 流入孔徑과 集水量과의 關係

定시키고 延面積比를 反復으로 보았을 境遇로서 孔徑 10mm 및 20mm의 水能은 相互 近似하여 30mm 孔徑의 集水能보다 優秀하다.

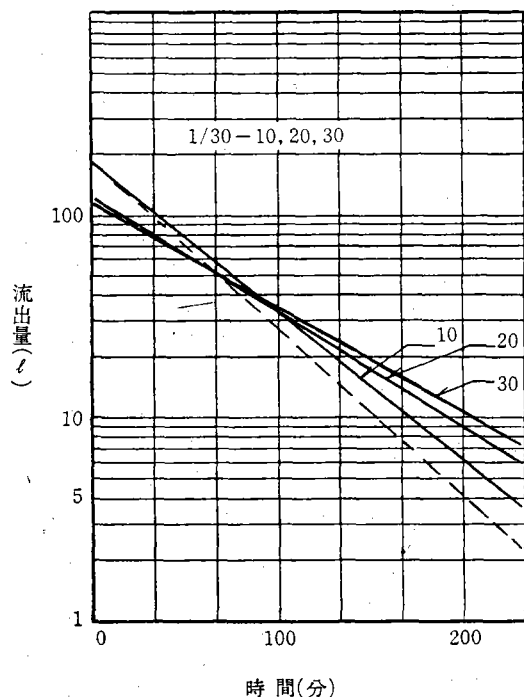


그림 9. 流入孔徑과 集水量과의 關係

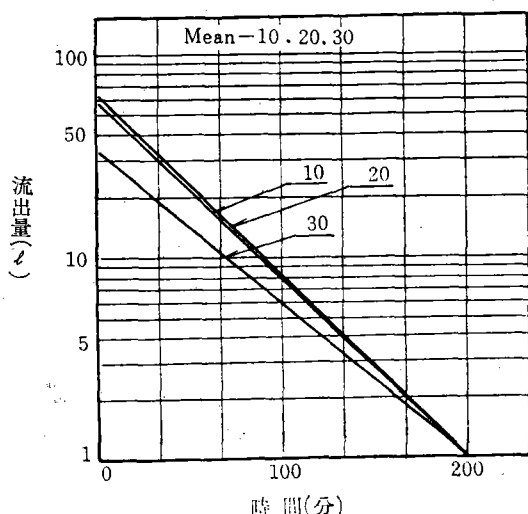
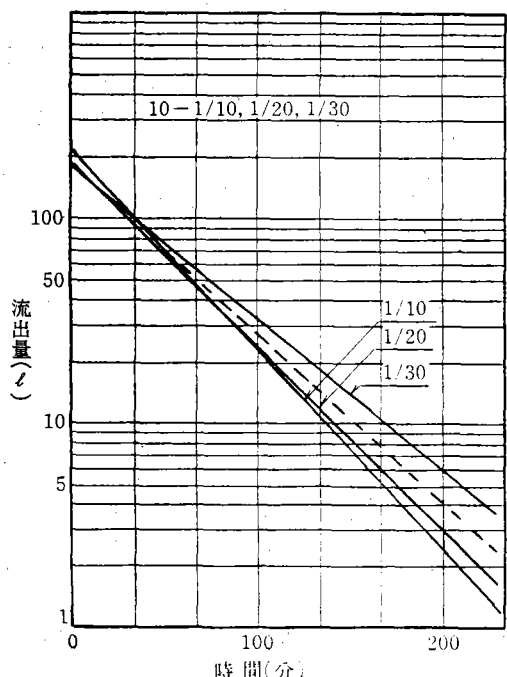


그림 10. 流入孔徑과 延面積比와의 關係

나. 集水管 斷面積 對 流入孔 延面積比와 集水能
과의 關係

그림 11. 集水管斷面積 對 流入孔 延面積比와
集水能과의 關係

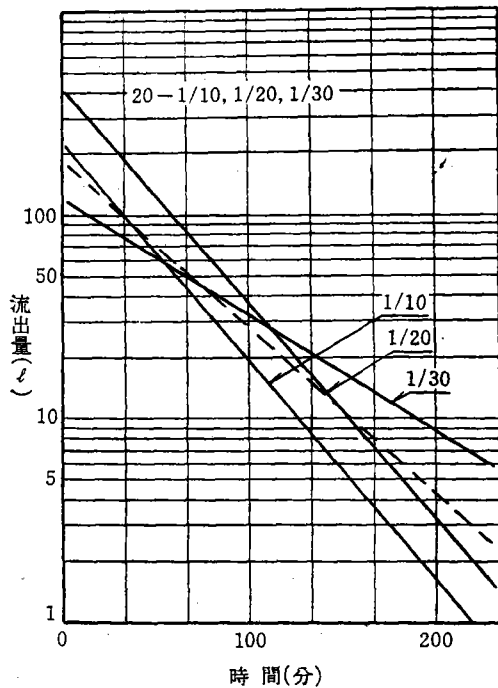


그림 12. 集水管斷面積對流入孔延面積比와 集水能과의 關係

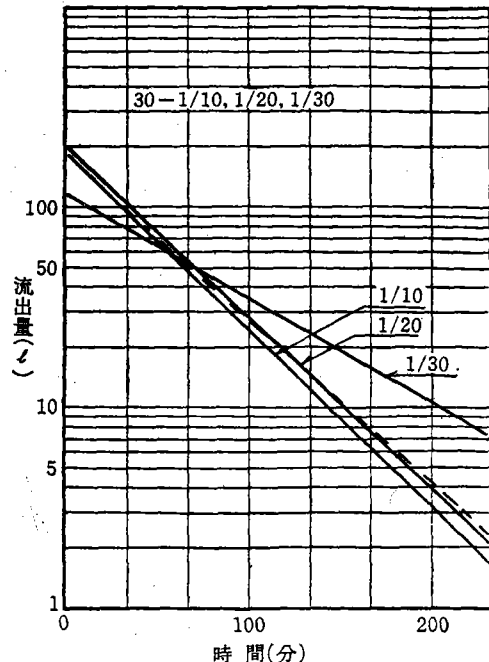


그림 13. 集水管斷面積對流入孔延面積比와 集水能과의 關係

그림 11, 12, 13 에서 다음과 같은事實을 알 수가 있다.

孔徑 10mm의 境遇 Q 를 集水能이라 할 때 $Q_{(10:1)} \div Q_{(20:1)} > Q_{(30:1)}$ 이고 20mm 때 $Q_{(10:1)} \div Q_{(20:1)} > Q_{(30:1)}$ 로서 10mm의 경우와 비슷한倾向이며 孔徑 30mm의 경우도 역시 $Q_{(10:1)} \div Q_{(20:1)} > Q_{(30:1)}$ 이다. 이것은 延面積比가 增加하면 集水能은 優秀해 지지만 延面積比가 20 : 1을 넘으면 集水能이 比例的으로 좋아지지 않음을 말해주고 있다.

그림 14 는 延面積比를 固定시키고 孔徑 10mm, 20mm, 30mm를 各己 1, 2, 3回의 反復으로 보아 그 集水能 平均值를 求하여 半對數紙에 그려본 것이다.

延面積比 10 : 1 및 20 : 1의 傾斜度는 相互近似하여 30 : 1의 境遇보다는 優秀하다.

다. 集水能에 對한 総合考察

前節에서 流入孔徑 및 集水管 斷面積對流入孔延面積比와 集水能과의 關係를 살펴 보았다. 이제 孔徑과 流入孔延面積를 함께 考慮하여 集水能이 優秀한 處理부터 順序別로 署列해 보면 表-4 와 같다.

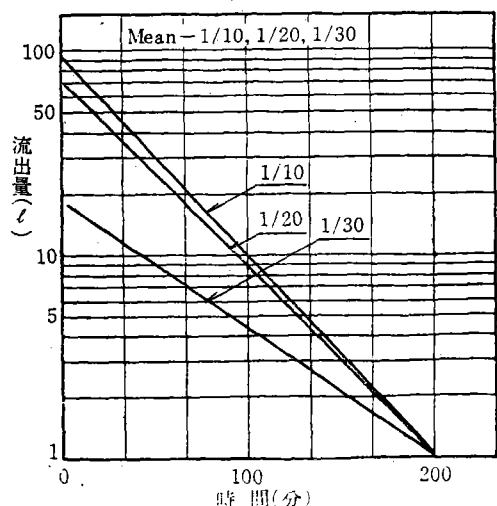


그림 14. 延面積比와 集水能과의 關係

表—4

處理別 優秀順位

處理別 孔徑(mm)	面積比	順位	回歸方程式	孔數/1m ²	開孔率
20	10 : 1	1	$y = 0.01080x + 2.36678$	41個	1.275%
20	20 : 1	2	$y = 0.01004x + 2.5608$	20	0.6099
10	10 : 1	3	$y = 0.00997x + 2.35033$	106	0.84
10	20 : 1	4	$y = 0.00909x + 2.28166$	80	0.624
30	10 : 1	5	$y = 0.00888x + 2.27839$	18	1.24
30	20 : 1	6	$y = 0.00874x + 2.30635$	9	0.624
無孔	—	7	$y = 0.00822x + 2.26377$	—	—
10	30 : 1	8	$x = 0.00752x + 2.26867$	53	0.416
20	30 : 1	9	$y = 0.00602x + 2.11816$	13	0.338
30	30 : 1	10	$y = 0.00525x + 2.07301$	6	0.344

表—5

Duncan's new multiple-range test에 依한 處理間 平均差檢定

處理	30, 1/30	20, 1/30	10, 1/30	理	30, 1/20	30, 1/10	10, 1/20	10, 1/10	20, 1/20	20, 1/10
集水能值	5.25	6.02	7.5	8.22	8.74	8.88	9.09	9.97	10.04	10.80

註：集水能平均值의 數值는 實際의 計算에 1000을 곱한 變形值임。

處理間 集水能(處理別 回歸方程式의 回歸係數)에 對한 平均差量 檢定한 結果가 表—5이다.

表—5에서 보는 바와 같이 集水能이 가장 優秀했던 處理는 流入孔徑 20mm, 延面積比 10 : 1인 境遇이었고 가장 劣等한 것은 孔徑 30mm, 延面積比 30 : 1인 處理였다.

1m²當(管表面積) 孔數로 換算하여 比較해 보면一般的으로 孔數가 많으면 集水能이 優秀했으나 過度하게 많으면 오히려 集水能이 떨어지는 傾向이 있었다. 以上의 結果를 綜合해 보면 다음과 같다.

(1) 延面積比가 같으면 孔徑이 작을수록 集水能은 우수하다.

(2) 同一한 孔徑에서는 延面積比가 增加하면 集水能이 좋아진다.

(3) 孔數가 많으면 集水能이 우수했으나 過度하게 많으면 集水能이 떨어지는 傾向이 있다.

(4) 集水能이 가장 좋은 處理는 孔徑 20mm에 延面積比 10 : 1로 製作한 處理이나 同一 孔徑에 延面積比 20 : 1 일때의 集水能과는 그 差에 有意性이 없었다.

2. 有孔 concrete 管 等의 耐壓強度分析

가. 集水管에 作用하는 外壓

集水管에 作用하는 外壓中 가장 重要한 것이 土壓이다. 土壓은 集水管이 埋設되어 있는 土壤性質, 埋設方法, 埋設後의 狀態에 依하여 相違하다.

表—6은 土壤의 物理的 性質에 따라 單位土壤重量이 變하는 것을 보여준다.

表—6

埋設土壤의 性質

土 質	土壤의 單位重(kg/m ³)	垂直土壤에 對한 水平土壓比
濕한 表土	1,500	0.33
물로포화된 表土	1,800	0.37
濕한 黃色粘土	1,600	0.33
물로포화된 黃色粘土	2,100	0.37
乾燥한 모래	1,600	0.33
濕한 모래	2,000	0.33

試體를 基準으로 有孔에 依한 強度低下에 對하여 論述키로 한다.

集水管에 鉛直集中荷重이 作用하고 있는 景遇 集水管에 생기는 應力은 $(4, 33)$

$$\sigma = \frac{M}{Z} = \frac{M}{\frac{lt^3}{6}} = \frac{6}{lt^3} \times 0.318P \frac{D}{2} = 0.954 \frac{PD}{lt^3} \quad \dots\dots(3)$$

이다.

但 $M: A, B$ 點에서의 moment

l : 集水管 길이

t : 集水管 두께

D : 集水管 直徑

Z : 斷面係數

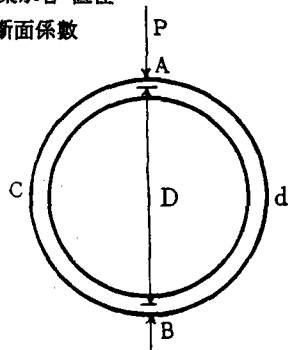


그림16. 集水管에 미치는 荷重

$$M_A = M_B = 0.318P$$

$$M_C = M_D = -0.182P$$

$$S_A = S_B$$

$$S_C = S_D = 0$$

$$N_A = N_B = 0$$

$$N_C = N_D = P/2$$

但 N : 軸力, S : 剪斷力

어떤 一定한 規格의 有孔 concrete 集水管에 集中荷重을 加할 경우

$$\sigma = 0.954 \frac{PD}{lt^3} \text{에서}$$

供試 concrete 集水管의 P, D, t 는 一定하나 流入孔으로 因하여 管長 l 가 줄어들어 σ 的 값이 增加하므로서 破壞의 危險度가 커지게 된다.

流入孔이 方形으로 管表面에 配列되는 경우는

$$l_f = l - nd \dots\dots(4)$$

但 l : 管長

b : 管의 實際 길이

n : 孔數(列間)

d : 流入孔徑

本 研究에 使用된 供試體와 같이 Zig Zag 式으로 配列된 경우는 그림 17에서 斷面 ①-①에 따라 破

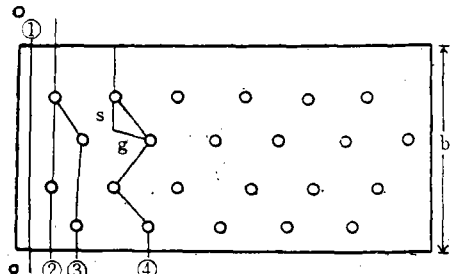


그림17. 集水管 破壞形狀

壞될 경우 ④

斷面 ①-②에 따라 파괴될 경우 ⑤

" ①-③ " ⑥

" ③-④ " ⑦

가지고

各己

$$\begin{cases} l_{④} = b \\ l_{⑤} = b - 2d \\ l_{⑥} = b - 3d + \frac{s^2}{4g} \\ l_{⑦} = b - 4d + \frac{s^2}{4g} \times 3 \end{cases} \dots\dots(5)$$

但 s : 流入孔行間隔

g : " 列間 "

이므로 이中 가장 最小의 길이를 取하게 된다.

$l_{④} = b$ 경우는 無孔 集水管과 같으므로 가장 安全하며 $l_{⑤}, l_{⑥}, l_{⑦}$ 를 比較하여 가장 짧은 l 을 찾고 이를 公式 (3)에 代入하여 σ 를 求한다.

表-9는 本 研究에 使用한 9個處理 各各에 對한 l 를 求하여 이를 公式 (3)에 代入 計算한 結果와 KSF 44 01, 6 項의 強度試驗方法에 準하여 試驗한 結果이다.

表-9 供試管 理論應力值와 耐壓強度比較

區分 流入孔別 集水管	理 論 值		試 驗 值		孔 數
	應 力 (kg)	指 數	코크리트의 強度(kg/cm ²)	指 數	
無 孔	0.0583 P	100	1,900	100	0
10-1/10	0.0614 P	105	1,350	71	60
10-1/20	0.0614 P	105	1,400	74	45
10-1/30	0.0614 P	105	1,050	55	30
20-1/10	0.0647 P	111	1,450	76	22
20-1/20	0.0624 P	107	1,550	82	11
20-1/30	0.0602 P	103	1,750	92	7
30-1/10	0.0647 P	111	1,600	84	10
30-1/20	0.0614 P	105	1,840	97	5
30-1/30	0.0624 P	107	1,300	68	3

(註) P : 荷重

表-9에 의하면 理論적으로는 流入孔으로 因한
破壊應力이 無孔에 比하여 3~11%의 增加를 보였을
뿐이다. 그러나 實際強度試驗結果의 強度差를 보이
고 있으므로 理論値와 많은 差를 나타냈다. 大體로
보아 試驗値에서는 孔數가 增加하면 強度가 낮아지
는 傾向이 있었다. 그러나 理論의 解析으로는 孔
徑이 작은 3~45%의 경우 破壊應力이 離れて 誘發된다. 이하한 差異는 流入孔數가 많아지면 콘크리트 치
기, 达지기 等 製作上의 困難 때문에 強度가 低下된
것으로 생각된다.

나. 集水管流入孔配列形狀에 대한 考察

集水管流入孔은 管의 強度를 低下시키는 要因의
하나임을 알았다. 그러나 流入孔의 配列形狀에 따라
強度가 變化되므로 最小의 強度低下를 誘發시키는
流入孔의 配列形狀에 對해 考察코자 한다.

集水管流入孔配列은 方形의 平行配列과 마름모꼴
의 Zig Zag 記列 2種으로 大別할 수 있다.

同一 集水管에 同一直徑의 流入孔을 形狀만 다르
게 記列할 경우

$$\sigma = 0.954 \frac{PD}{lt^2} \text{에서}$$

P, D, t 는 一定하고 다만 流入孔의 記列形狀에 따
라 l 이 달라질 뿐이다.

平行配列時의 l 를 l_p , Zig Zag 配列時를 l_z 라 하
면 同一한 孔數를 配列할 경우 行數가 一定하면 언
제나

$$l_p < l_z \text{가 成立한다.}$$

따라서 $\sigma_p > \sigma_z$ 가 同時に 成立하게 되어 平行配列이
Zig Zag 配列에 比해 耐壓強度面에서 不利하다는 結
論이 可能하다. Zig Zag 配列에 있어서도 破壊되는
形狀이 여러 가지이다 여기서 가장 代表的인 것이
平行方向으로 破壊되는 경우와 Zig Zag로 破壊되는
경우인데 이때의 管長을 각已 l_{zp} , l_{zz} 라고 하면

$$\begin{cases} l_{zp} = b - nd \\ l_{zz} = b - (2n-1)d + \frac{s^2}{2g}(n-1) \end{cases} \dots\dots\dots (6)$$

(6)에서 $l_{zp} > l_{zz}$ 면 l_{zz} 를 取하게 되고 $l_{zp} < l_{zz}$ 이면
 l_{zp} 를 取하게 되는 바 l_{zz} 는 s 와 g 에 따라 그 길이가
變하고 l_{zp} 는 一定한 길이를 가진 定數이다. 따라서
 $l_{zz} < l_{zp}$ 條件은 l_{zz} 에 依해 誘發되는 應力이 l_{zp} 에 依
한것보다 크게되는 條件이 되므로 $l_{zz} \geq l_{zp}$ 되는 條件
即, l_{zp} 를 恒時 取할 수 있는 境遇를 算出할 必要가
생긴다.

$$l_{zz} \geq l_{zp} \text{가 되기 위해서는}$$

$$b - (2n-1)d + \frac{s^2}{2g}(n-1) \geq b - nd$$

$$-2nd + d + \frac{s^2}{2g}(n-1) \geq -nd$$

$$\therefore s^2 \geq 2gd \quad s \geq \sqrt{2gd} \quad \dots\dots\dots (7)$$

即, $l_{zz} \geq l_{zp}$ 를 爲해서는 $s \geq \sqrt{2gd}$ 로 s 와 g 를 定하
면 된다.

不等式 (7)은 流入孔의 Zig Zag 式 配列에 있어 集
水管의 破壊應力を 最小로 하기 爲한 基本條件이 된다.

IV. 結論

管徑 30cm의 集水管에서 管斷面積 對 流入孔延面
積比를 10:1, 20:1, 30:1로 하고 流入孔徑을 10
mm, 20mm, 30mm로 하여 總 9個處理로서 그 集
水能과 耐壓強度에 對한 實驗과 分析을 通하여 다음과
같은 結論을 얻었다.

1. 集水能 및 耐壓強度, 그리고 製作上의 諸問題
點들을 考慮하여 가장 效果的인 流入孔의 規格은 集
水管 斷面積 對 流入孔 延面積比가 20:1, 流入孔徑
20mm인 境遇이다. 이때 管表面積 1m²當 流入孔數
는 20個이다.

2. 流入孔의 配列은 엇갈리기 (Zig Zag) 하되
 $s \geq \sqrt{2gd}$ 의 條件을 滿足시키도록 함이 좋다.

但 s : 流入孔의 行間 間隔

g : " 列間 間隔

d : 流入孔徑

参考文獻

1. 金子良 (1951) : 揚水試驗による K の検討, 農土研 Vol. 18. No. 4
2. 君島八郎 : 地下水(改版)
3. 農業土木學會 (1965) : 水資源 ハンドブック
4. 農業土木學會 (1966) : 農業土木 ハンドブック
5. 農林部 (1967) : 地下水調査試驗報告書
6. 農林部 (1968) : 農業土木設計便覽
7. 農林省 農地局 (1959) : 地下水工
8. 農村振興廳 (1967) : 農工技術指導要綱
9. 大板益賢外 2人 (1951) :

- 伏流水量算定における 渗透係数の 測定について、農土研. Vol. 19. No. 4
10. 渡邊潔 (1961) : 不透水層上に 設計した 暗渠の 定流滲透について、農業土研究. Vol. 29. No. 9
11. 牧 隆泰 (1956) : 農業土木 詳論
12. 関 丙鑑 (1964) : 農業水利
13. 石橋 豊 (1950) : 栃木縣における集水キヨについての調査 農業土木研究. Vol. 17. No. 2, 3
14. 狩野徳太郎 : 滅灌排水
15. 手塚楨確 (1961) : 集水渠 周邊の 地下水の 流動について、土地改良. Vol. 11. No. 5
16. 李 昌九 (1962) : 農業工學
17. 李 台現 (1963) : 實驗生物統計學
18. 張 権烈外 1人 (1967) : 實驗統計分析法
19. 鎌川 農業水利事務所 : 伏流水取水と揚水試験. 農業土木學會誌. Vol. 32.
20. 前川 章 (1952) : 等角寫像法による 地下水流量の 解析(I) 農土研. Vol. 21. No. 4
21. 前川 章 (1956) : 集水渠, 集水管の 湧水量の一解法. 農土研. Vol. 19. No. 4
22. 前川 章 (1953) : 等角寫像法による 地下水流量の 解析(II)
- 農土研. Vol. 21. No. 4
23. 前川 章 (1956) : 集水渠の 湧水量計算について 土地改良 Vol. 12.
24. 前川 章 (1956) : 地下水 賦存量との 採水量決定の一づつ 試み 土地改良. Vol. 9.
25. 前川 章 (1950) : 橫走式 縱走式 暗渠配列法の 比較研究. 農土研. Vol. 17. No. 23
26. 田中貞次 : 灌溉排水
27. 中村 総七郎 (1940) : 集水盲暗渠による 河川伏流水の 利用について. 農土研. Vol. 12. No. 2
28. 崔榮博外 1人 (1961) : 水理學
29. 土聯 (1968) : Fy'68. 集水暗渠調査設計要領
30. 後藤定年 (1962) : 挖井の 湧水量試験. 農業土木學會誌. Vol. 34 No. 8
31. Frevert, et al (1957) : Soil and Water Conservation Engineering
32. Israelson (1935) : Drainage and Irrigation
33. Timoshenko (1960) .. Strength of Materials Part I Elementary Theory and Problems